

金沢大学	正員	柳場 廉正
〃		長久 太郎
道路公団金沢建設局		工藤 貴
〃 仙台建設局	正員	本江 錦之
金沢大学大学院	学生員	○森 光明

1. まえがき 最近の我国のモータリゼーションの発達には目覚ましいものがある。それに伴って自動車も高速化し、操縦性、安定性が問題となるてきている。高速走行自動車が受ける外力としては、路面の不整によるものと空風等の空気力学的外力が考えられる。高速道路についてみると、一般に路面は良好であると考えられるので、空気力学的外力が問題となる。本研究では空風を受ける自動車の走行安定性について現地の強自然風のもとで実験を行ったが、その結果については自然風の特性と自然風(特に横風)を受けて高速走行する自動車の応答特性の問題に分けて研究を進めた。

2. 調査場所 地上高速道路上の石川県能美郡根工町(STA150)から手取川左岸(STA196)にかけての5.2kmの区間を調査対象とした。

3. 風の特性について 風は常に変動している、平均風速を \bar{V} 、瞬間風速を V 、変動風速を v とおくと、 $V = \bar{V} + v$ となる。ここでは風の特性を知るために風の変動成分を定常確率過程とみなし、不規則波形のスペクトル解析の手法を用いて解析し、また変動風速のスケーリング、またはこれらのパワースペクトルを積分することにより各々の風の乱れの強さを求めた。

3-1. 観測方法 現地にプロペラ型風向風速計を地上5mの高さに設置し、昭和42年1月より観測を行なってきたが、走行安定性に問題となる風向と瞬間最大風速及び強風の継続時間などについて調査を進め、更に風の特性を知るため突風率($G = V_{max}/V_{mean}$)を求めた。しかし自動車の応答解析においては比較的短い周期の変動風速を走行と同時に測定する必要があるので、昭和45年から超音波風速計を自動車のルーフキャリアに載せて走行中の風を測定した。

表-1. 突風率

平均風速	突風率			
	42年	43年	44年	45年
$V_{mean} < 10 \text{ m/s}$	2.84	3.06	2.47	2.42
$10 \text{ m/s} \leq V_{mean} < 15 \text{ m/s}$	2.03	1.87	1.64	1.78
$15 \text{ m/s} \leq V_{mean}$	1.72	1.54	1.38	1.48

3-2. 観測結果と考察

3-2-1. 突風率について 過去の資料より求めた突風率について表-1に示す。これは風速の観測時間: Tを1時間とし、瞬間最大風速が20%以上なものについて求めたものである。これによると、平均風速の小さいところでも2.5~3倍の突風が瞬間に吹くことが予想される。しかし突風率はTや瞬間風速の評価時間: τ の取り方によって異なり、この関係については石崎・光田の研究があり、その関係は

$$G(T, \tau) = (\tau/T)^{\beta}$$

(1)

 β : 気流の乱れの状態を示す指標

で示される。本研究で超音波風速計より求めた資料についてT=300秒、 $\tau=0.5$ 秒とした時の平均風速、乱れの強さ $\sqrt{v^2/\bar{V}}$ 及び β の値を表-2に示し、この時の β に対する突風率の変化を表-3に示

表-2

平均風速 \bar{V} [m/s]	8.61	13.27
乱れの強さ	0.309	0.239
P	0.080	0.106

す。ここでXは車の進行方向に直角な方向を示す。表でyを小さくするほどxが大きくなる。これはyを小さくすることにより風の小さな渦をも獲えることができるからである。

ii) 強風の乱流的構造の解析

変動風速について詳しく調べるために、周波数分析装置を用いて各周波数ごとに風速の変動値を求めた(図-1)。変動値は風速10m/sでは0.1Hz付近で1%であり、それから高周波になるにつれて下降する勾配は風速が大きくなるにつれて緩やかとなる。これは風速が大きくなるにつれて高周波部分が増加することを示す。次に相関器及びスペクトルアナライザによるスペクトル解析

を行った。この結果の一例を図-2に示す。これによると、0.2~0.7Hz付近のパワーが卓越して現われ、1Hz付近にヒークが見られる。次にパワースペクトルへの見方を変えてみる。周波数n₁からn₂までのパワーは次式で示される。

$$\int_{n_1}^{n_2} f(m) dm = \int_{n_1}^{n_2} n f(n) d(\log n) \quad (2)$$

縦軸に $n f(n)$ 、横軸に $\log n$ をとると、 n_1 と n_2 に囲まれた面積はその周波数範囲でのパワーを示し、パワーがどの周波数部分に卓越するかが見やすくなる。この結果の一例を図-3に示すが、最大値は0.2~0.7Hzのところで最も多く現われている。

十、横風を受けける自動車の走行特性

自動車が横風を受けると、揚力、横向力、ヨーリングモーメント、ローリングモーメント等が作用するが、

高速走行安定性には横向力、ヨーリングモーメントが重要である。これらは風向と風速に關係する。3.に述べた風のエネルギーや人間の操舵能力、反応感覚から0.1~2Hz付近が最も問題になると考へ、主としてその附近での応答を調べた。

4-1. 実験方法

風の測定には前述の超音波風速計を用い、同時に、自動車の側面に受けた圧力、操舵力、操舵角、ヨーリングモーメントの測定を行った。

表-3、突風率の変化

	平均風速	8.61 m/s	8.35 m/s
評価	0.5	1.74	1.59
時間	1	1.67	1.54
	2	1.60	1.45
sec.	4	1.49	1.29
	10	1.42	1.15

図-1

Frequency Analysis of X
by Ultrasonic Anemometer

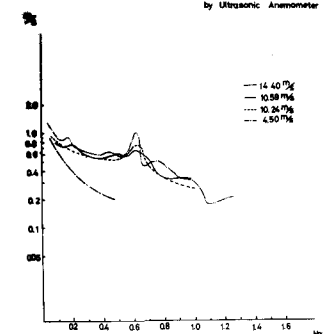


図-2

Static Power Spectrum of X by Ultrasonic Anemometer

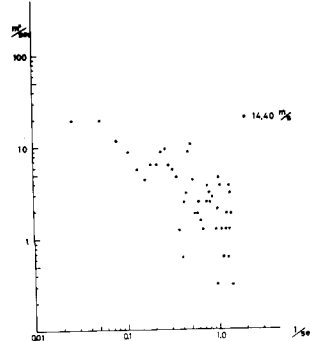


図-3

Static Power Spectrum of X by Ultrasonic Anemometer

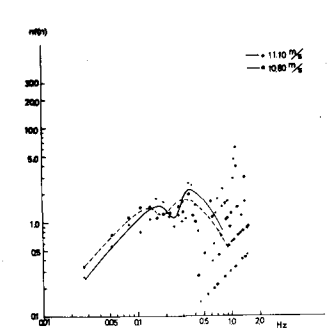


図-4

Power Spectrum Density of X

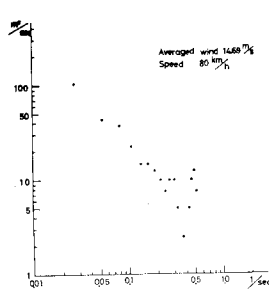


図-5

Variation of Steering Force

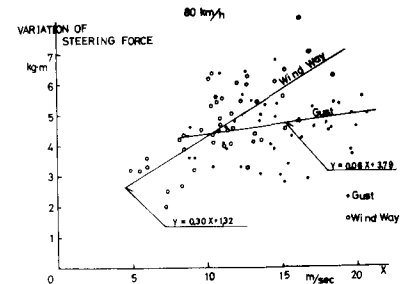
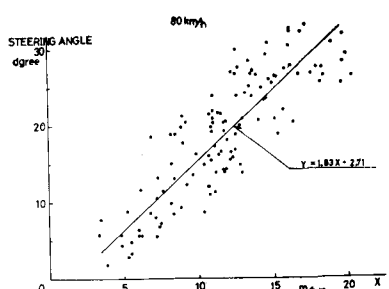


図-6

Steering Angle



4-2. 実験結果と考察

i) 自動車の挙動　図-4は走行時に自動車が受ける横風の変動パワー²⁾スペクトルの例である。林等が球型風速計で測定した結果では、パワーの減少勾配は1.0~1.5程度とされているが、ここでは0.5~1.0となる。これは超音波風速計が高周波部分をも測定するからである。図-5は自動車が突風を受けた時に更にかかる操舵力の量を表す。図でGustとあるのは広く開けた場所で突風を受けながら走行した場合を示し、Wind Wayは障害物がある場所あるいは風が吹き抜ける場所を走行した場合を示す。これより、同じ場所の風を受けても吹き抜け部の方が運転手に与える影響が大きいことが解る。これは風速の変化量から考えらるることであり、吹き抜け部では補正操舵角も大きくなりがちで、庚しきりや車への航行もあり得る。図-6は風速の変化に対する操舵角の変化の一例である。図-7, 8は横風を受けた時の横加速度とヨー角加速度の分布である。これより、90km/hでは两者とも急激に増加し、操縦者が感じる危険度は増すと考えられる。次に、突風を受けた時の横移動量: は(3)式で計算して、その結果を図-9に示す。

$$s = \text{反応時間} \times \text{走行速度} \times \tan\left(\theta - 14^\circ\right) \times \frac{17.01}{360^\circ} \quad (3)$$

ここで反応時間は各速度で走行中に操縦者が突風に対してハンドル操作を始めまでの所要時間で、実験結果より平均反応時間は、60km/hで0.449秒、80km/hで0.445秒、90km/hで0.424秒である。14°はハンドルの遊び角、17.01は操舵角360°の時のタイヤの実舵角である。

ii) 応答特性　一般に突風を受けた時の自動車の応答系は図-10のブロック線図で示される。H(f)は入力を自動車へのコースからのズレとし、出力を操舵力、操舵角とした人間の応答関数である。またG(f)は入力を操舵力、操舵角及び

図-7

横加速度の分布
風速 7~22m/s

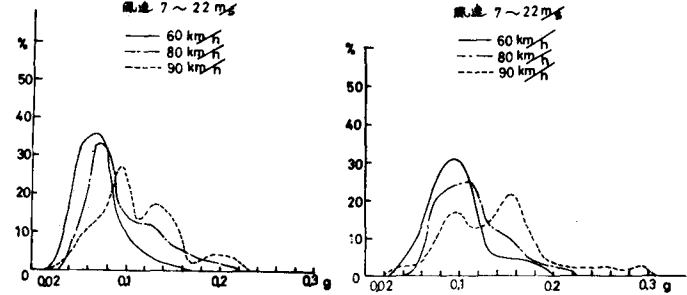


図-8

ヨー角加速度の分布
風速 7~22m/s

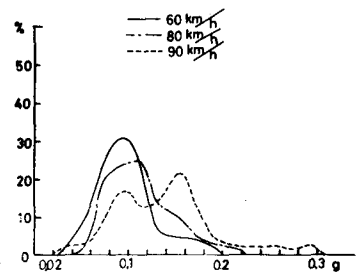


図-9 横移動量

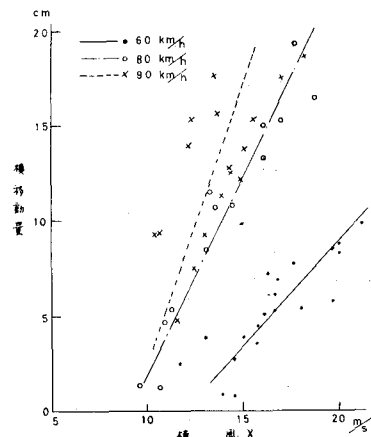


図-10

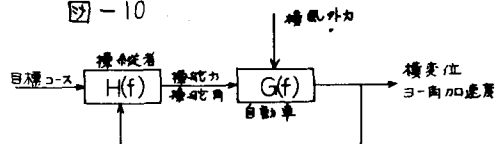


図-11

Response Function of X and Steering Angle

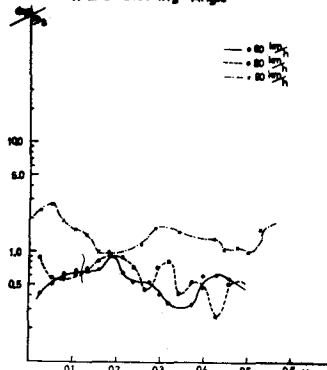
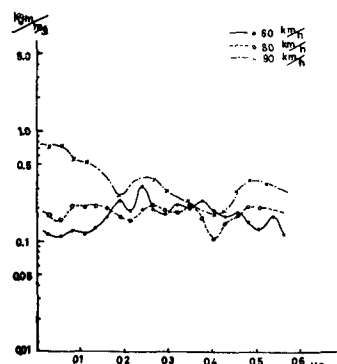


図-12

Response Function of X and Steering Force



横風とし、出力を自動車の挙動とした場合の自動車の応答周数である。しかし、

本研究では操縦者と自動車の応答周数を一つにして表す $G(f)$ で代用せた。この時の入力は横風とし、出力をヨー角加速度、横加速度、操舵力、操舵角とした。実験結果より、図-11、12、13にゲイン特性の例を示す。次に、走行時の各出力のパワースペクトルの解析例を図-14、15、16に示す。これよりパワーの存在する周波数範囲を考えると、1 Hzまでの解析で十分であると考えられる。次に、入力、出力のパワースペクトルを各々重合、重交、クロススペクトルを重合とすると、

$$R_{12}^2(f) = \frac{|H_{12}(f)|^2}{H_{11}(f) \cdot H_{22}(f)} \quad (4)$$

でコヒーレンスは定義され、2変量の各周波数ごとの相関性を表わす。その計算結果の例を図-17に示す。こちによると、0.35 Hz以上になると横風に対して操舵力、操舵角は余り相関性がないことを示していい。しかし、前述の様に操舵力のパワースペクトルは1 Hz付近まで存在している。これは操縦者は0.35 Hzまでの横風成分に対する対応は容易に対処することができるが、0.35 Hz以上の横風成分に対しては操舵応答が困難となり、公には操舵性・方向性に悪影響を及ぼすと思われる。そこで、各風速、各走行速度における0.35 Hz以上の操舵力のパワースペクトルへの統合を求めて図示すると図-18の通りで、風速12 m/s以上から急激に高周波のパワーが増加する。これより、風速12 m/s以上になると何らかの形で危険と考えられる。しかし、こちに因しては、こちだけの資料により結論することは困難であり、更に資料の積み重ねを要するものである。

文献引石崎・光田；速向時ににおける突風の拡がりと突風率について、京大防災研究所年報第15号

24号 石庄・秋山・農満；突風による自動車の応答について、自動車技術

図-13

Response Function of X and Yawing Acceleration

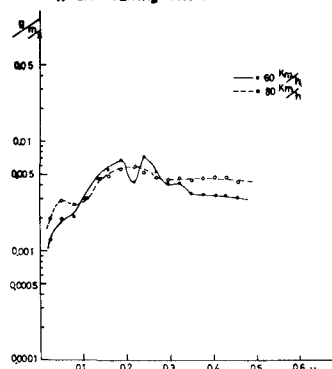


図-14

Power Spectrum Density of Steering Angle

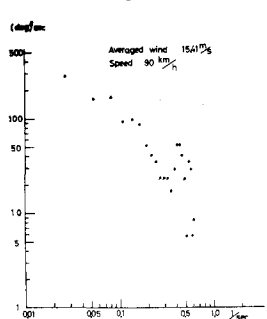


図-15

Power Spectrum Density of Steering Force

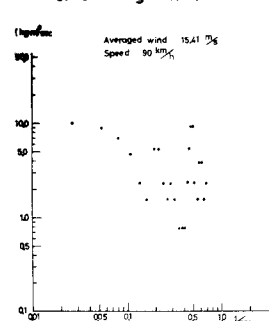


図-16

Power Spectrum Density of Yawing Acceleration

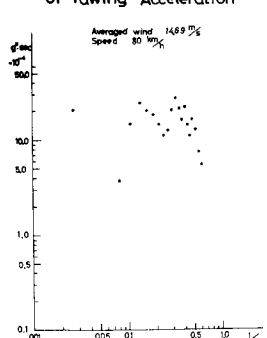
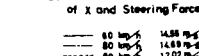


図-17 コヒーレンス

Xと操舵力

Coherence Function of X and Steering Force



Xと操舵角

Coherence Function of X and Steering Angle

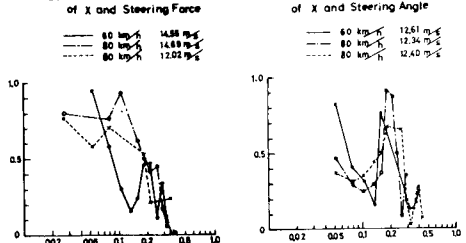


図-18 パワースペクトルの統合

(km/sec)

